

بررسی مقاوم سازه های فولادی در برابر زلزله به روشنگی بهینه بادبندها

مجتبی عبدالهیان دهکردی،

مربی گروه عمران ، دانشگاه آزاد اسلامی واحد شهرکرد

تلفن : ۰۳۸۱-۲۲۲۴۷۸۱ ، نمایر : ۰۳۸۱-۲۲۲۷۷۵۷

m-abdollahian@yahoo.com

چکیده

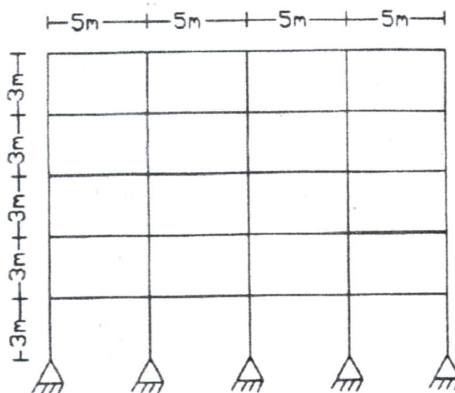
با افزایش تجارب حاصل از زمین لرزه های گذشته و بازنگری ضوابط آئین نامه های طراحی، امروزه پیش از پیش مبحث مقاوم سازی ساختمانهای موجود مورد توجه قرار گرفته است. پژوهه حاضر به بررسی کاربرد سیستمهای لرزه بر بادبندی به عنوان یکی از مؤثرترین روش های ارتقاء لرزه ای ساختمانهای فولادی کوتاه می پردازد.

از جمله مسائل مهم در مطالعه کاربرد این سیستمهای، تعیین آرایش مناسب و ارتباط متقابل بادبندها در قاب می باشد. در این مقاله مفهوم ابر باندها به عنون نگرشی نو به طرح های بادبندی ارائه و خواص آنها در کنار الگوهای متعارف بررسی شده است.

این روش با قابلیت در نظر گرفتن هم زمان اثر پارامترهای معیار، برای تعیین اولویت های گزینه های بهسازی لرزه ای بسط یافته که نتایج آن کارایی ابر بادبندها در تقویت ساختمان مورد مطالعه با کمترین نیاز به تقویت شالوده آشکار می سازد.

تعیین آرایش و طرح بهینه بادبندها برای ارتقاء سازه تحت بار جانبی، صورت گرفته است. بر مبنای این روش چندین پارامتر از جمله : گریز طبقات، برش پایه دینامیکی و نیروهای وارد بر بی، نخستین مقدار ویژه و کمترین وابستگی مدهای ارتعاشی، گسترش یافته و به کمک آنها اثر نامنظم بودن قاب، تغییر اتصالات آنها و تغییر نوع با آرایش بادبندها در طرح بهینه تقویت لرزه ای مطالعه شده است. کارآیی بالا و برتری چشمگیر روش حاضر بر روش های موجود بهینه یابی الگوی پیوسته با مقایسه نتایج آنها در باز توزیع تنشها، قابلیت تغییر برای طراحی عملی و کاهش وزن بادبندها در کنار اهمیت کاربرد بادبندها در طرح های بهینه ارتقاء آشکار گشته است.

کلید واژه ها : بادبندهای بزرگ مقیاس، بهینه یابی بادبندها، تغییر مکان پیشینه طبقات، برش پایه دینامیکی، برش ارتعاشی مد اول سازه.



شکل ۱ : مدل دو بعدی مورد تقویت

از آنجا که سازه ها در پلان متقارن و منظم است شکل ۱، تقویت آن در جهت طولی با مطالعه یک قاب مستوی نمونه صورت گرفته است مراحل بارگذاری استاتیکی معادل و محاسبات جرم مورد نیاز در تحلیل دینامیکی به شرح جدول ۱ است :

- ۶۰۰ کیلوگرم بر متر مربع = (D) بار مرده طبقات
- ۲۰۰ کیلوگرم بر متر مربع = (L) بار زنده طبقات
- طبق ضوابط استاندارد ۲۸۰۰، ۲۰٪ از بار زنده در محاسبه جرم طبقات این ساختمان مسکونی در نظر گرفته می شود.
- سقف ها از نوع تیرچه بلوك و دارای صلیب کافی برای توزیع نیروی جانبی بین عناصر قائم می باشد . در جهت طولی ۴ قاب برای تقویت با ایجاد سیستم لرزه بر بادبندی، انتخاب شده اند.

۳- روش تحلیل استاتیکی معادل

از آنجائیکه سیستم بادبندی مانعی در برابر حرکت جانبی به شمار می آید، محاسبات مربوط به تحلیل استاتیکی معادل برای قاب شکل ۱ در جدول ۱ ارائه می گردد.

۱- مقدمه

بسیاری از ساختمانهای دارای اسکلت فلزی (فولادی) در ایران به علت نامطلوب بودن کیفیت مصالح، کیفیت بد جوش های کارگاهی، نداشتن سیستم باربر جانبی مناسب و بدی کیفیت اجرا، مقاومت کافی در مقابل تکانهای زلزله را ندارد. به همین جهت خطر بروز خسارات جانبی و مالی مخصوصاً در زلزله های بزرگ بسیار زیاد است. اگر در یک زلزله درصد زیادی از ساختمانهای موجود خراب شوند نتایج اقتصادی مرتب بر آن نیز ممکن است بسیار شدید باشد. با برنامه ریزی دقیق و کار مهندسی خوب می توان عملکرد ساختمانهای معمولی ایران را در مقابل زلزله به مقدار قابل توجهی بهبود بخشید، این کار با تقویت ساختمانها امکان پذیر است. حتی یک اقدام نسبتاً ساده مانند اصلاح جوش ها و افزایش ابعاد آن در اتصالات ممکن است باعث تقویت قابل ملاحظه ساختمان گردد. هدف از مقاوم سازی ساختمانها در درجه اول افزایش مقاومت جانبی آنهاست. این کار باعث تغییر شکل ها و در نتیجه کاهش احتمال خرابی می شود. هدف دوم تبدیل ساختمان به یک سازه شکل پذیر است که به روش کنترل شده ای وارد مرحله تسلیم گردد. مقاله حاضر به بررسی شیوه های بهینه سازی ساختمانهای فولادی کوتاه مرتبه در مقابل اثرات زلزله میپردازد.

۲- مشخصات ساختمان های مورد مطالعه

ساختمان های مورد مطالعه طبق ضوابط استاندارد [۱] ۲۸۰۰ دارای تقارن در پلان و ارتفاع می باشد شکل ۱ این ساختمان مسکونی شامل ۵ طبقه با ارتفاع برابر ۳m و ۴ دهانه با طول مساوی ۵m در جهت طولی و L= 4m در جهت عرضی می باشد. مقاطع ستونها، دوبل IPE240 با ضخامت تقویتی ۱۰mm × ۳۰۰PL در طول جان و کلیه تیرها دارای مقاطع دوبل IPE180 هستند. اتصالات تیر به ستون در قابهای عرضی مفصلی و در قابهای طولی، گیردار است و اتصالات ستونها به پی مفصل میباشند.

۵- بررسی آرایش های مختلف بادبندی برای قاب ساختمان مورد نظر

در آرایش‌های خانواده a از بادبندی تک همگرا شکل ۲ برای مهاربندی چشممه های قاب استفاده شده است. در برخی از این الگوها به منظور در نظر گرفتن اثر محدودیتهای معماري، بادبندها در تمام طبقات به صورت متقارن تعبيه نشده اند. اين آرایش ها در نگاه کلي، الگوي بادبند تک الگوي بادبند ضربوري بزرگ مقیاس را در كل قاب تداعی می کنند به طوري که گره هاي کنج آن از روی بي تا کف طبقه چهارم قرار دارند. در خانواده b شکل ۲ برای ايجاد الگوي يك بادبند بزرگ مقیاس در كل قاب، استفاده از بادبندهاي تک واگرا نيز مجاز شمرده شده است. در آرایش های مختلف اين گروه، کنج های بادبند بزرگ مقیاس در گره های گوشه قاب ثابت مانده و گره محل تلاقي دو قطر آن، ابتدا بين تراز طبقات و سپس بين ستونهاي يك طبقه جابجا شده است. در طرحهای تقویت خانواده c و d شکل ۳ چشممه های قاب به صورت متقارن با قطرهای تک، مهار شده اند و تغییر خروج از مرکز يکسان آنها الگوي مختلف اين خانواده را با انتقال از سیستم بادبندی همگرا (با خروج از مرکزیت صفر) به سیستم واگرا ايجاد می کند. در گروه e فقط دو نوار کناري و در خانواده d تمامی f دهانه ها به اين روش بادبندی شده اند. آرایشهاي گروه e و f شکل ۴ به ترتیب نیز مانند c و d می باشد، با این تفاوت که الگوي بادبند بزرگ مقیاس واگرای زانویی (k)، را در هر دهانه مهار شده (از تراز پی تا بام) ايجاد نموده اند. طرح اين گروه ها به گونه ای است که برای خروج از مرکز صفر، با تلاقي هر دو الگوي زانویی، يك الگوي بادبند ضربوري بزرگ مقیاس پدید می آيد. در خانواده g شکل ۵ دهانه های کاري قاب با بادبندهاي واگرای زانویی مهار شده اند به طوریکه با تغییر خروج از محور تا مقدار صفر به بادبندهاي همگرايی زانویی ۷ تبدیل می شوند. آرایش بادبندی گروههای i و h شکل ۴-۶ از الگوهای بادبند تک واگرا تشکیل می شوند که برای خروج از مرکز e=0 بادبندهاي برگ مقیاس همگراي جناقی را ايجاد می کنند. در هر يك از مدلهاي فوق، مقطع بادبندها به شکل لوله با قطر متوسط ۲۰ سانتيمتر در نظر گفته شده و ضخامت جداره ان برای هر مدل از روش تعیین کمترین وزن تقویت محاسبه می شود. در كلیه موارد، اتصال دو سر هر بادبندی به تیر یا ستو، مفصلی فرض شده است.

جدول ۱ : محاسبات مربوط به روش تحلیل استاتیکی معادل برای قاب ساختمان شکل ۱

S وزن دیوارهای کناری قاب	$m_i = D + 0.2L$ محاسبات جرم طبقات	H ارتفاع قاب ساختمانی	D بعد ساختمان در جهت طولی
83/25Kg/ m ²	57860 Kg	15m	1/45Sec .
$T = 0.09 \times \frac{H}{D^2}$ پرید ارتعاش طبيعي	$B = 2 \times \left(\frac{r}{r_o}\right)^{\frac{2}{3}}$ ضریب بازتاب	$C = \frac{ABI}{R}$ ضریب زلزله	$V = C.W$ برش پایه
۲	۷	.۱/۰	۹۳Ton ۲۸

توزيع نیرو در طبقات مطابق آئین نامه، به شرح زیر است :

$$F_1 = (V - F_t) \frac{w_i h_i}{\sum w_i h_i}$$

$$F_1 = 1.93ton$$

$$F_2 = 3.86ton$$

$$F_3 = 5.79ton$$

$$F_4 = 7.7ton$$

$$F_5 = 9.64ton$$

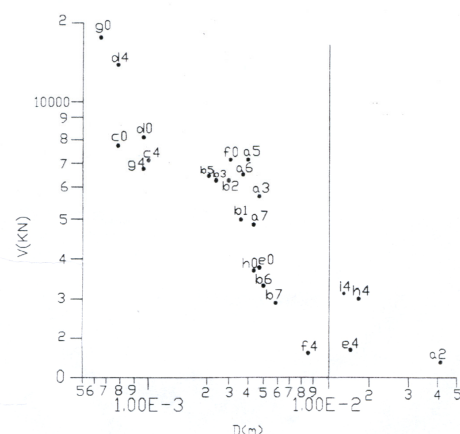
۴- روش تحلیل دینامیکی

با توجه به تقارن و منظم بودن پلان سازه، می توان از روش تحلیل طیفی بهره گرفت. برنامه SAP2000 [۲] نسبت تنش ها را فقط در آنالیز مودی نمایش می دهد. بنابراین برای بدست آوردن طیف زمین لرزه های مورد استفاده يك مدل تک درجه آزادی پایداری مورد نظر تحت شتاب نگاشت آنها به روش تاریخچه زمانی آنالیز و طیف طرح به کمک نرم افزار SAP2000 از نتایج آن استخراج شده است. طیف حاصل از مراحل بعدی برای تحلیل مдалب و محاسبه خودکار نسبت تنش ها توسط این نرم افزار، به کار رفته است. به منظور ايجاد طیف پیشنهادی [۲] نیز استفاده می شود. UBC-97

۷- مقایسه و ارائه نتایج

۱- نمودار برش پایه دینامیکی در برابر تغییر مکان بیشینه طبقات

دقت در شکل ۶ آشکار می سازد که مدلهای خانواده e و f بطور کلی برش پایه کمتری نسبت به سایر مدلها دارند و با کاربرد ضریب رفتار یکسان، نیاز به تقویت پی سازه را کاهش می دهند. ضریب رفتار یکسان، نیاز به تقویت پی سازه را کاهش می دهد. از طرفی با توجه به تغییر مکان بیشینه آنها اگرچه در ناحیه تغییر مکان مجاز قرار دارند، بیش از مقدار متناظر خانواده c ، d و g است. کمترین برش پایه مربوط به مدل f_4 می باشد، بنابراین انتخاب گزینه بهینه میان f_4 ، g_0 و d_0 به هزینه و امکانات موجود برای تقویت شالوده و نیز اهمیت گریز کمتر، به عنوان یک معیار کنترل پاسخ سازه تحت زمین لرزه، بستگی دارد. این نمودار همچنین نشان می دهد که حساسیت و پراکندگی برش پایه مدلهای گروه c و d نسبت به تغییرات خروج از مرکز، کمتر از سایر مدلهاست.



شکل ۶: برش پایه دینامیکی (V) در برابر تغییر مکان بیشینه طبقات (D)

۲- نمودار برش پایه دینامیکی در برابر پرید

مد اول

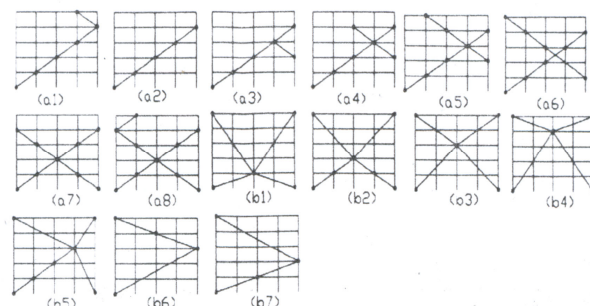
شکل ۷ رابطه میان پرید طبیعی نمودارهای تقویت شده را با پاسخ آنها تحت زمین لرزه طرح نمایش می دهد. در طیف طرح زلزله طبس با ۲٪ میرایی، شتاب بیشینه، متناظر پرید ۰.۲٪ ثانیه می باشد. از طرفی بیشترین برش پایه دینامیکی مدلها در همین تناوب بدست می آید که معرف حالت تشدید در پریدهای نزدیک به پرید طبیعی طرح می باشد.

شباهت الگوی پاسخ برش پایه با طیف شتاب در نمودارهای اخیر، مربid نتایج قبلی می باشد به طوریکه سازه اولیه با داشتن تناوب

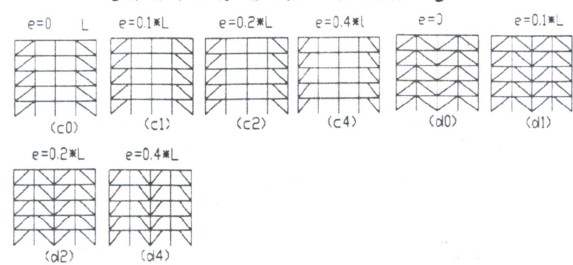
۶- پارامترهای مورد مطالعه

برای بررسی رفتار خطی سازه تقویت شده با الگوهای مختلف بادیندی، پارامترهای گوناگون مشخص کننده ویژگی های دینامیکی یا اولویت در طرح ارتقاء لرزه ای به شرح زیر مورد استفاده قرار گرفته است:

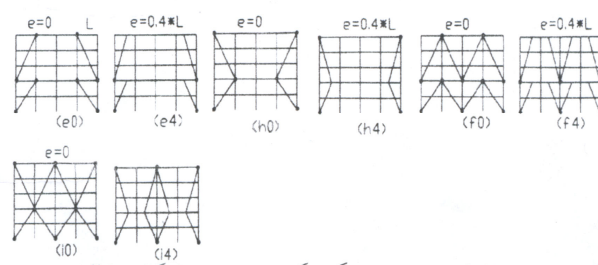
- بیشینه تغییر مکان طبقات بدست آمده از تحلیل استاتیکی معادل
- برش پایه حاصل از تحلیل دینامیکی سازه
- پریود ارتعاشی مدل سازه



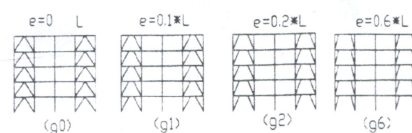
شکل ۷- آرایش‌های خانواده a ، b ، a برای تقویت لرزه ای قاب مورد بررسی



شکل ۸- طرح های خانواده c و d و خروج از مرکز متناظر اضطراب آنها



شکل ۹- نمایش ابرادیندهای همگرا و اگرا در طرحهای تقویت نظری گروههای e, f, h, i



شکل ۱۰- گروه g با ابرادیندهای همگرا و اگرا مدل اول برای تقویت لرزه ای قاب مورد بررسی

-۳ در بررسی اولویت میان چند گزینه تقویت، معیارهای مختلفی نظری محدودیت تغییر مکان بیشینه، کمترین برش پایه در حیطه تحلیل های خطی، مورد مطالعه قرار گرفت. بررسی نمودارهای متناظر نشان داد که در نظر گرفتن اثر یک پارامتر به تنها یک کافی نیست و اولویت گزینه باید با استفاده از نمودارهای ترکیبی معیارهای مورد نظر، تعیین گردد.

-۴ نتایج نمودارهای ترکیبی تعییر مکان طبقات و برش پایه دینامیکی به عنوان معرفی از نیروهای اعمالی بر شالوده، نشان می دهد که در حیطه تحلیل های خطی، ابر بادبندهای همگرا با رفتار بهتر در اراضی هم زمان توابع هدف و محدودیت های تقویت لرزه ای از اولویت بالاتری در ارتقاء سازه های فولادی پرخوردارند.

٩- مراجع

- ۱- استاندارد ۲۸۰۰ "ائین نامه طراحی ساختمانها در برابر زلزله" ویرایش دوم، آذر ۱۳۷۸

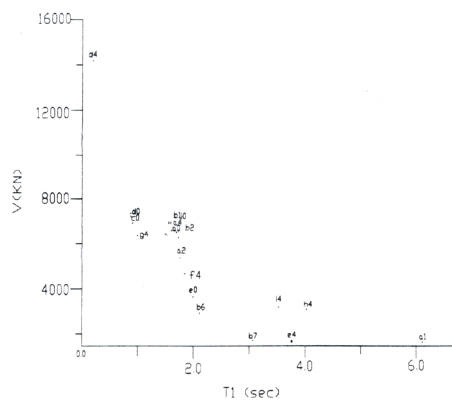
۲- ویلسون، اوارد، حبیب الله، اشرف، چاپ اول، بهمن ۱۳۸۰ "برنامه عمومی تحلیل و طراحی SAP2000"، ترجمه داود نبی، سید مهدی لاجوردی، سید مهیار، احمدی بید گلی، حسین.

۳- واکابایاشی، مینور، ۱۳۷۴. "طراحی ساختمانهای مقاوم در برابر زمین لرزه"، ترجمه عماری، علی محمد و ناطق الهی، فریبرز، انتشارات مؤسسه بین المللی زلزله شناسی و مهندسی زلزله،

۴- ناطق الهی، فریبرز، شماره اول، بهار ۱۳۷۶. "آسیب پذیری لرزه ای سازه های فولادی موجود با اتصالات خرجینی"، نشریه دانشکده مهندسی دانشگاه مشهد، سال نهم،

۵- "A methodology for the seismic evaluation of exisiting buildings." 1987 , ACT - 14, Applied Technology concil.

طولانی در ناحیه سمت راست پرید تشید، کمترین شتاب را از تحریک زلزله دریافت می کند و به همین دلیل طرحهای تقویتی e_4 و e_4^+ با اعمال کمترین افزایش سختی لازم (کمترین کاهش تناوب) برای ارضاء ضوابط گیریز بیشینه مطلوب می باشد.



شکل ۷: برش پایه دینامیکی (V) - پرید مد اول (T1)

۸- نتیجہ گیری

در مقاله حاضر، با مطالعه مقاوم سازی ساختمانهای فولادی در برابر بارگذاری جانی و اثر زمین لرزه نتایج متعددی بدست آمد که مهمترین آنها به شرح زیر می باشد :

-۱ در بررسی اجمالی شیوه های مرسوم تقویت ساختمانهای فولادی مشاهده شد روش های مقاوم سازی با استفاده از بادبند ها از امتیازات ویژه ای برخوردار است که مهمترین آنها کارایی و سهولت اجرای تقویت، (مقاوم سازی)، کمترین تغییرات در ویژگی های سازه ای و معماری بنا، امکان تأمین اتصال مناسب با اعضای قاب، قابلیت انطباق بالا با سیستم سازه ای بنای موجود، افزایش چشمگیر سختی و مقاومت و توزیع مناسب نیروهای قاب به ویژه کمترین افزایش در نیروهای اعمال شده به شالوده می باشد.

-۲ در مطالعه سیستمهای بادبندی نمی توان به بررسی جداگانه رفتار واحدهای بادبندی اکتفا نمود و باید اثر توالی آنها را در آرایش بادبندهای کل سیستم و تأثیر متقابل آن بر قاب مهاربندی شده نیز بررسی شود. در این راستا مفهوم ابر بادبندها یا بادبندهای بزرگ مقیاس به عنوان نگرشی نو به آرایش های بادبندی تعریف و ویژگیهای آن در طرح ارتقاء سازه ها تحت بازگذاری، حانه، مطالعه شد.

Investigation of Reinforcing Steel Components opposing Earthquake With the Help of optimal Wind- Occlusions Design.

Mojtaba abdolahian dekordi

Department of civil Engineer, islamic Azad university Sharkord

Abstrae::

According to the experiences gathered from pre-earthquakes & revising the rules of design bylaws the subject of reinforcing the present buildings is important nowadays. This project investigates the usage of quake system on wind- occlusion as one of the most efficient ways of shaking development in small, steel buildings.

Including important matters in studying the usage of these systems is suitable arrangement determination & wind- occlusion's mutual relation in frame. This essay reveals the concept of super wind- occlusions as a contemporary outlook to wind- occlusion designs & discusses their uses after standard models .

This method with the capacity of contemporaneous including of the effect of standard parameters, for determining the primacy of the shaking betterment choices,that its results reveals the efficiency of super wind- occlusions in reinforcing the studing building with the least need to foundation reinforcement.

Arrangement determiniation & optimal design of wind- occlusions have been accomplished for the advancement of the under – pressure side- component. On the basis of this method, some parameters including, flat escape, slicing of the dynamic pillar & forces vertical to foundation, primary amount & the least dependence of vibrational tides, have been expanded & for their help, the frame's instability effect, change of their joints & of the type with wind- occlusions arrangement in the optimal design of shaking reinforcement have been investigated . High efficiency & great superiority of the present method on existing methods of optimizing the continuous model with comparing their conclusions in need of roles distribution, the changing capability for practical design & decreasing the wind- occlusions weight along with the importance of super wind- occlusions application have been described in optimal designs of advancement.

Keyword: steed camonents, Earthquake, optimal design win occlusions